## 

Մեխանիկա

50, N 2, 1997

Мехапика

## НАПРЯЖЕННО-ДЕФОРМИРОВАННОЕ СОСТОЯНИЕ МАГНИТОУПРУГОГО СЛОЯ С ПОЛУБЕСКОНЕЧНОЙ ТРЕЩИНОЙ, НАХОДЯЩЕГОСЯ ВО ВНЕШНЕМ ОДНОРОДНОМ МАГНИТНОМ ПОЛЕ

## Асанян Д.Д., Багдасарян Г.Е.

Դ.Չ. Հասանյան, Գ.Ե.Բաղդասարյան Կիսաանվերջ ճաք պարունակող շերտի լարվածա-դեֆորմացիոն վիճակի ուսումնասիրումը համասեր ժազմիական դաշում

**ՈՒՆ**» ւմնասիրվում է կիսաանվերջ ճաք պարունակող ֆերոմագնիսական շերտի լար - ւս-դեֆորմացիոն վիճակը, երբ շերտը գտնվում է մագնիսական ղաշտում

Hasanian D.I., Bagdasarian G.E.

Stress 250 a state ferromagnetic layer with semi-infinite crake in homogeneous moonetic field

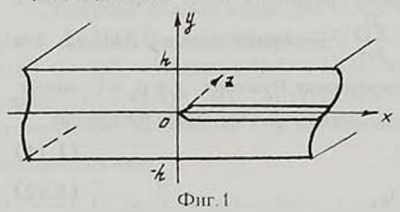
7.8.2.5 ется задача о нахождении напряженно деформированного состояния однородного матинтомяткого слоя с трещиной, находящегося в постоянном ноперечном

однорядие с магнитомяткого слоя с трещиной, паходящегося в постоянном поперечном чагинтном воде. Определены основные характеристики напряженио-деформированного состояния и индушированного магнитного поля, исследованы их особенности около трещины

1. Постановка задачи. Пусть в магнитоупругом ферромагнитном слое толщиной 2h имеется прямолинейная полубесконечная туппельная трещина, берега которой свободны от внешиих механических нагрузок. Прямоугольная система декартовых координат выбрана так, что поперечное сечение трещины находится в плоскости ХОУ и занимает топ кую область  $\Omega^* = \left\{ x > 0, \ y = 0, \ |z| < \infty \right\}$  около отрезка  $(0, \infty)$  коорди натной оси ОХ. Слой, материал которого является изотронным, одно родным и магнитомягким, занимает область  $\Omega = \left\{ |x| < \infty; \ |y| \le h; \ |z| < \infty \right\}$  и помещен в постоянное магнитное поле  $\vec{B}_0(0, B_0, 0)$  (фиг. 1). Внешняя по отношению к слою среда  $\Omega_* = \left\{ |y| > h; \ |x| < \infty; \ |z| < \infty \right\}$  является на куумом.

Вследствие того, что магнитная проницаемость материала слоя  $\mu_r$  отлична от единицы ( $\mu_r >> 1$ ), на берегах трещины компоненты тензора магнитоупругих напряжений терпят разрыв. Этим разрывом

обусловлено появление магнитного давления  $\vec{P}_0$  , действующего на берегах трещины.



Под действием нагрузки  $\overrightarrow{P_0}$  и объемных сил магнит ного происхождения, появляющихся вследствие де формации тела, и слое устанавливается невозмущен ное илоское напряжению деформированию состоя

ние. Используя результаты работы  $\{1\}$  и предполагая, что все искомые величины не зависят от пространственной координаты z и времени t, получим следующие линейные уравнения и граничные условия, определяющие магнитоупругие характеристики возмущенного состояния: уравнения магнитоупругости во внутреней области слоя  $(x,y) \in \Omega$ 

$$\Delta U_{i} + \frac{1}{1 - 2\nu} (U_{1,1} + U_{2,2})_{i_{0}} + \frac{2\chi B_{0}}{\mu \mu_{r}} \Phi_{i_{0}2} = 0, \quad (i = 1, 2), \quad \Delta \Phi = 0, \quad (1.1)$$
rate  $f_{i_{1}} = \frac{\partial f}{\partial x_{i}}, \quad x_{1} = x, \quad x_{2} = y_{4}$ 

уравнения магнитостатики при  $(x,y) \in \Omega_+ \cup \Omega^*$ 

$$\Delta \Phi^{(e)} = 0 \tag{1.2}$$

Граничные условия на плоскостях  $y=\pm h, \quad |x|<\infty$ 

$$U_1(x, \pm h) = Q_1(x), \quad U_2(x, \pm h) = Q_2(x)$$
 (1.3)

$$\Phi_{2^{\circ}}^{(c)}(x,\pm h) = \mu_{c}\Phi_{2^{\circ}}(x,\pm h) \tag{1.4}$$

$$\Phi_{s_t}^{(e)}(x, \pm h) = \Phi_{s_2}(x, \pm h) - \frac{B_0}{\mu_0} \frac{\chi}{\mu_t} U_{1,t}(x, \pm h)$$
(1.5)

Граничные условия на плоскости у = 0

$$U_{21}(x,0) = 0$$
,  $\Phi_{2}(x,0) = 0$  npu  $x < 0$  (1.6)

$$t_{21}(x,0) + t_{21}^M(x,0) + \frac{2\chi B_0}{\mu \mu_r} \Phi_{r_1}(x,0) = 0$$
 npn  $|x| < \infty$  (1.7)

$$\Phi_{\gamma_1}(x,0) = \frac{B_0}{\mu_0} \frac{\chi}{\mu_1} U_{2,1}(x,0) \qquad \text{inpit} \qquad x > 0$$
 (1.8)

$$t_{22}(x,0) + t_{22}^{M}(x,0) = t_{22}^{M(\epsilon)}(x,0)$$
 upu  $x > 0$  (1.9)

Условия на бесконечности

$$\Phi^{(e)}(x, y) \to 0$$
 при  $x^2 + y^2 \to \infty$  (1.10)

В (1.1) (1.10) приняты следующие обозначения

 $U_i(x,y)$  (i=1,2) - компоненты вектора упругих перемещений:  $\Phi^{(e)}$  п  $\Phi$  потенциалы индуцированного магнитного поля, соответствению п вакууме и в среде;  $\Delta = \frac{\partial^2}{\partial x^2} + \frac{\partial^2}{\partial y^2}$  - двумерный оператор Лапласа;  $\lambda$  и

 $\mu$  - постоянные Лямэ;  $\nu$  - коэффициент Пуассона;  $\chi=\mu_r-1$  - магнитная восприничивость среды;  $\mu_0$  - абсолюеная магнитная постоянная

$$t_{i_1} = \sigma_{i_1} + \mu_0 \chi (H_{0i} h_i + H_{0j} h_i)$$
 (1.11)

$$t_{ii}^{M} = B_{0i}h_{i} + B_{0i}h_{i} - \delta_{ii}\mu_{0}H_{0k}h_{k}$$
 (1.12)

$$\sigma_{\mu} = \lambda \delta_{\mu} U_{k,k} + \mu (U_{i,j} + U_{j,k}) \tag{1.13}$$

$$\bar{h} = \operatorname{qrad} \Phi, \quad \bar{h}^{(e)} = \operatorname{qrad} \Phi^{(e)}, \quad \bar{B}_0 = \mu_0 \mu, \bar{H}_0, \quad \bar{B}_0^{(e)} = \mu_0 \bar{H}_0^{(e)}$$
 (1.14)

 $Q_i(x)$  (i=1,2) — заданные значения упругих перемещений границ  $y=\pm h$ . Заметим, что плоскость y=0 является плоскостью симметрии, т. е.

$$U_{2}(x, y) = -U_{2}(x, -y), \quad U_{1}(x, y) = U_{2}(x, -y)$$
  

$$\Phi(x, y) = -\Phi(x, -y), \quad \Phi^{(r)}(x, y) = -\Phi^{(r)}(x, -y)$$
(1.15)

По этой причине задачу будем решать в областях

$$\Omega_1 = \left\{ -h < y < 0; \left| x \right| < \infty \right\} \text{ if } \Omega_{v1} = \left\{ -\infty < y < -h; \left| x \right| < \infty \right\}.$$

**2.** Интегральное уравнение задачи. Решение задачи (1.1) (1.2) с учетом условия на бесконечности (1.10) представим в виде: в области  $\Omega_1$ :

$$\begin{split} U_{1}(x,y) &= -i \int_{-\alpha}^{\infty} \frac{|\alpha|}{\alpha} \left\{ -\left[ A_{1}(\alpha) + (|\alpha|y - 3 + 4v) \frac{A_{2}(\alpha)}{|\alpha|} + \gamma_{1} A_{3}(\alpha) \right] e^{-|\alpha|s} + \right. \\ &\left. + \left[ A_{4}(\alpha) + (|\alpha|y + 3 - 4v) \frac{A_{3}(\alpha)}{|\alpha|} + \gamma_{1} A_{6}(\alpha) \right] e^{|\alpha|s} \right\} e^{-i\alpha s} d\alpha, \end{split} \tag{2.1}$$

$$U_2(x,y) = -i \int_{-\alpha}^{\infty} \frac{|\alpha|}{\alpha} \Big\{ \Big[ A_1(\alpha) + y A_2(\alpha) \Big] e^{-i\alpha v} + \Big[ A_4(\alpha) + y A_5(\alpha) \Big] e^{i\alpha v} \Big\} e^{-i\alpha v} d\alpha.$$

$$\Phi(x,y) = \frac{B_0}{\mu_0} \int_{-\infty}^{\infty} \left[ A_x(\alpha) e^{-|\alpha|x} + A_6(\alpha) e^{|\alpha|x} \right] e^{-i\alpha x} d\alpha,$$

где

$$\gamma_1 = \frac{2(1-2v)\chi B_0^2}{\mu_0\mu\mu_0}$$
 в области  $\Omega_{s1}$ :

$$\Phi^{(e)}(x,y) = \frac{B_0}{\mu_0} \int_{-\infty}^{\infty} A_1(\alpha) e^{|\alpha|_1} e^{-i\alpha x} d\alpha.$$
 (2.2)

Учитывая условия симметрии (1.15), можно написать решение задачи (1.1)-(1.2) в областях  $\Omega/\Omega_1$  и  $\Omega_c/\Omega_{c1}$ . Функции  $A_i(\alpha)$  (i=1,7), входящее в (2.1) и (2.2), определяются из граничных условий (1.3)-(1.9). Из (1.11)-(1.14), с учетом (2.1)-(2.2), магнитоупругие напряжения  $t_{ij}^{\mu}$  и максвеловские напряжения  $t_{ij}^{\mu}$  можно представить в виде

$$\frac{I_{12}(x,y)}{\mu} = \int_{-\infty}^{\infty} (-i\alpha) \left\{ \left[ 2A_{1}(\alpha) + (2|\alpha|y - 4 + 4v) \frac{A_{2}(\alpha)}{|\alpha|} + \gamma_{2}A_{3}(\alpha) \right] e^{i\alpha t_{1}} + \left[ 2A_{4}(\alpha) + (2|\alpha|y + 4 - 4v) \frac{A_{5}(\alpha)}{|\alpha|} + \gamma_{2}A_{6}(\alpha) \right] e^{i\alpha t_{1}} \right\} e^{-i\alpha t_{2}} d\alpha. \quad (2.3)$$

$$\frac{I_{22}(x,y)}{\mu} = \gamma_{0} + \int_{-\infty}^{\infty} |\alpha| \left\{ \left[ -2A_{1}(\alpha) + (-2|\alpha|y + 2 - 4v) \frac{A_{2}(\alpha)}{|\alpha|} - \gamma_{1}A_{3}(\alpha) \right] \times e^{-i\alpha t_{1}} + \left[ 2A_{4}(\alpha) + (2|\alpha|y + 2 - 4v) \frac{A_{5}(\alpha)}{|\alpha|} + \gamma_{1}A_{6}(\alpha) \right] e^{i\alpha t_{1}} \right\} e^{-i\alpha t_{1}} d\alpha;$$

$$\frac{I_{12}^{M}(x,y)}{\mu} = \frac{B_{0}^{2}}{\mu_{0}\mu} \int_{-\infty}^{\infty} (-i\alpha) \left[ A_{3}(\alpha)e^{-|\alpha|t_{1}} + A_{6}(\alpha)e^{|\alpha|t_{1}} \right] e^{-i\alpha t_{1}} d\alpha$$

$$\frac{I_{22}^{M}(x,y)}{\mu} = \frac{(2\mu_{1} - 1)B_{0}^{2}}{2\mu_{0}\mu\mu_{2}^{2}} + \frac{(2\mu_{1} - 1)B_{0}^{2}}{\mu_{0}\mu\mu_{2}} \int_{-\infty}^{\infty} |\alpha| \left[ -A_{1}(\alpha)e^{-|\alpha|t_{1}} + A_{6}(\alpha)e^{|\alpha|t_{1}} \right] \times e^{-i\alpha t_{1}} d\alpha$$

$$\chi_{0} = \frac{\chi B_{0}^{2}}{\mu_{0}\mu\mu_{2}^{2}}; \quad \gamma_{2} = \frac{(3 - 4v)\chi B_{0}^{2}}{\mu_{0}\mu\mu_{2}}$$

Аналогичным образом можно привести выражение для  $t_{\rm H}(x,y)$  и  $t_{\rm H}^M(x,y)$  .

Перейдем к определению неизвестных функций  $A_i(\alpha)$  ( $i=\overline{1,7}$ ) нутем удовлетворения граничных условий. Для этой цели введем следующие обозначения:

$$U_{2,1}(x,0) = f(x) = \begin{cases} \varphi(x) & \text{if pif } x > 0\\ 0 & \text{if pif } x < 0 \end{cases}$$
 (2.5)

$$\Phi_{12}(x,0) = g(x) = \begin{cases} \psi(x) & \text{if pif } x > 0 \\ 0 & \text{if pif } x < 0 \end{cases}$$
 (2.6)

Используя граничные условия (1.6), легко показать, что функции  $\varphi(x)$  и  $\psi(x)$  удовлетворяют условиям

$$\varphi(-x) = -\varphi(x); \quad \psi(-x) = -\psi(x)$$
 (2.7)

Подставляя (2.1) п (2.3) в граничные условия (1.3) (1.7), п учитывая (2.5) (2.6), приходим к следующей системе липейных алгебранческих уравнений:

$$\hat{A}\vec{x} = \vec{\Phi} \tag{2.8}$$

Эти уравнения позволяют выразить неизвестные функции  $A_i(\alpha)$  через новые неизвестные функции  $\varphi(x)$  и  $\psi(x)$ .

Матрина  $\tilde{A}$  векторы  $\tilde{x}$  и  $\tilde{\Phi}$  вхоляние в (2.8), имеют вид:  $|\alpha|e^{ik\alpha l} - h|\alpha| - 3 + 4\nu)e^{ik\alpha l} = \frac{|\alpha l}{2}\gamma_1e^{ik\alpha l} - |\alpha le^{-ik\alpha l} - h|\alpha le^{-ik\alpha l} - \frac{|\alpha l}{2}\gamma_2e^{-ik\alpha l} = 0$   $|\alpha le^{-ik\alpha l} - h|\alpha le^{-ik\alpha l} - h|\alpha le^{-ik\alpha l} = 0$   $|\alpha le^{-ik\alpha l} - h|\alpha le^{-ik\alpha l} = 0$   $|\alpha le^{-ik\alpha l} - h|\alpha le^{-ik\alpha l} = 0$   $|\alpha le^{-ik\alpha l} - h|\alpha le^{-ik\alpha l} = 0$   $|\alpha le^{-ik\alpha l} - a|\alpha le^{-ik\alpha l} = 0$   $|\alpha le^{-ik\alpha l} - a|\alpha le^{-ik\alpha l} = 0$   $|\alpha le^{-ik\alpha l} - a|\alpha le^{-ik\alpha l} = 0$   $|\alpha le^{-ik\alpha l} - a|\alpha le^{-ik\alpha l} = 0$   $|\alpha le^{-ik\alpha l} - a|\alpha le^{-ik\alpha l} = 0$   $|\alpha le^{-ik\alpha l} - a|\alpha le^{-ik\alpha l} = 0$   $|\alpha le^{-ik\alpha l} - a|\alpha le^{-ik\alpha l} = 0$   $|\alpha le^{-ik\alpha l} - a|\alpha le^{-ik\alpha l} = 0$   $|\alpha le^{-ik\alpha l} - a|\alpha le^{-ik\alpha l} = 0$   $|\alpha le^{-ik\alpha l} - a|\alpha le^{-ik\alpha l} = 0$   $|\alpha le^{-ik\alpha l} - a|\alpha le^{-ik\alpha l} = 0$   $|\alpha le^{-ik\alpha l} - a|\alpha le^{-ik\alpha l} = 0$   $|\alpha le^{-ik\alpha l} - a|\alpha le^{-ik\alpha l} = 0$   $|\alpha le^{-ik\alpha l} - a|\alpha le^{-ik\alpha l} = 0$   $|\alpha le^{-ik\alpha l} - a|\alpha le^{-ik\alpha l} = 0$   $|\alpha le^{-ik\alpha l} - a|\alpha le^{-ik\alpha l} = 0$   $|\alpha le^{-ik\alpha l} - a|\alpha le^{-ik\alpha l} = 0$   $|\alpha le^{-ik\alpha l} - a|\alpha le^{-ik\alpha l} = 0$   $|\alpha le^{-ik\alpha l} - a|\alpha le^{-ik\alpha l} = 0$   $|\alpha le^{-ik\alpha l} - a|\alpha le^{-ik\alpha l} = 0$   $|\alpha le^{-ik\alpha l} - a|\alpha le^{-ik\alpha l} = 0$   $|\alpha le^{-ik\alpha l} - a|\alpha le^{-ik\alpha l} = 0$   $|\alpha le^{-ik\alpha l} - a|\alpha le^{-ik\alpha l} = 0$   $|\alpha le^{-ik\alpha l} - a|\alpha le^{-ik\alpha l} = 0$   $|\alpha le^{-ik\alpha l} - a|\alpha le^{-ik\alpha l} = 0$   $|\alpha le^{-ik\alpha l} - a|\alpha le^{-ik\alpha l} = 0$   $|\alpha le^{-ik\alpha l} - a|\alpha le^{-ik\alpha l} = 0$   $|\alpha le^{-ik\alpha l} - a|\alpha le^{-ik\alpha l} = 0$   $|\alpha le^{-ik\alpha l} - a|\alpha le^{-ik\alpha l} = 0$   $|\alpha le^{-ik\alpha l} - a|\alpha le^{-ik\alpha l} = 0$   $|\alpha le^{-ik\alpha l} - a|\alpha le^{-ik\alpha l} = 0$   $|\alpha le^{-ik\alpha l} - a|\alpha le^{-ik\alpha l} = 0$   $|\alpha le^{-ik\alpha l} - a|\alpha le^{-ik\alpha l} = 0$   $|\alpha le^{-ik\alpha l} - a|\alpha le^{-ik\alpha l} = 0$   $|\alpha le^{-ik\alpha l} - a|\alpha le^{-ik\alpha l} = 0$   $|\alpha le^{-ik\alpha l} - a|\alpha le^{-ik\alpha l} = 0$   $|\alpha le^{-ik\alpha l} - a|\alpha le^{-ik\alpha l} = 0$   $|\alpha le^{-ik\alpha l} - a|\alpha le^{-ik\alpha l} = 0$   $|\alpha le^{-ik\alpha l} - a|\alpha le^{-ik\alpha l} = 0$   $|\alpha le^{-ik\alpha l} - a|\alpha le^{-ik\alpha l} = 0$   $|\alpha le^{-ik\alpha l} - a|\alpha le^{-ik\alpha l} = 0$   $|\alpha le^{-ik\alpha l} - a|\alpha le^{-ik\alpha l} = 0$   $|\alpha le^{-ik\alpha l} - a|\alpha le^{-ik\alpha l}$ 

$$\bar{x} = \begin{vmatrix} A_1(\alpha) \\ A_2(\alpha) \\ \vdots \\ A_r(\alpha) \end{vmatrix}; \quad \bar{\Phi} = \begin{vmatrix} \Phi_1 \\ \Phi_2 \\ \vdots \\ \Phi_r \end{vmatrix}; \quad \beta = \frac{B_0^2}{\mu_0 \mu} \frac{4\mu_r (1 - \nu) - 3 + 4\nu}{\mu_r}$$

$$\Phi_{1} = \overline{Q}_{1}(\alpha); \ \Phi_{2} = -\frac{|\alpha|}{\alpha i} \overline{Q}_{2}(\alpha); \ \Phi_{1}(\alpha) = 0; \ \Phi_{4} = -\frac{\chi}{\mu_{c}} \frac{|\alpha|}{\alpha i}$$

$$\Phi_s = 0$$
;  $\Phi_6 = -\frac{|\alpha|}{\alpha i} \frac{1}{2\pi} \int_{\alpha}^{\infty} \varphi(s) e^{i\omega s} ds$ 

$$\Phi_{\gamma} = -\frac{|\alpha|}{\alpha i} \frac{1}{2\pi} \int_{0}^{\pi} \psi(s) e^{i\alpha s} ds$$

$$\widetilde{Q}_{i}(\alpha) = \frac{1}{2\pi} \int_{-\infty}^{\infty} Q_{i}(x)e^{i\alpha x}dx \qquad (i = 1, 2)$$

Предполагая, что det  $\hat{A} \neq 0$ , на (2.8) найдем

$$A_{\iota}(\alpha) = \sum_{i=1}^{r} b_{\iota \iota}(\alpha) \Phi_{\iota}(\alpha) \qquad (i = \overline{1.7})$$
 (2.9)

где  $b_a$  – элементы обратной матрицы к  $\hat{A}$  .

Таким образом, все неизвестные  $A_r(\alpha)$  ( $i=\overline{1,7}$ ) выражены через две функции  $\phi(x)$  и  $\psi(x)$ , которые должны определяться из граничных условий (1.8)-(1.9). Подставляя (2.9) в граничные условия (1.8)-(1.9), с учетом (2.4), получим следующую систему уравнений относительно  $\phi(x)$  и  $\psi(x)$ :

$$\int_{0}^{\infty} \varphi(t) K_{0}\left(\frac{t-x}{h}\right) dt = Q_{0} - \frac{1}{2\pi} \int_{0}^{\infty} Q_{1}(t) \vartheta_{1}(t-x) dt - \frac{1}{2\pi} \int_{0}^{\infty} Q_{2}(t) \vartheta_{2}(t-x) dt = q(x), \quad x > 0$$

$$(2.10)$$

$$\psi(x) = \frac{\chi}{\mu_r} \varphi(x)$$

где

$$\vartheta_i(s) = \int \widetilde{\vartheta}_i(\alpha) e^{i\alpha} d\alpha \qquad (i = 1, 2)$$

$$\overline{\theta}_{t}(t) = \frac{4(1-2v)\sinh t - 4t \cosh t}{2t - (3-4v)\sinh 2t}$$

$$\overline{\mathfrak{Z}}_{2}(t) = \frac{|t|}{tt} \frac{b_{0}^{2}}{\cosh t} + \frac{1 - 4t \sinh t + (7 - 15v) \cosh t}{2t - (3 - 4v) \sinh 2t}$$
(2.11)

$$Q_0 = \frac{b_0^2}{2} \frac{\mu_r^2 - 4\mu_r + 3}{\mu_r^2}; \quad b_0^2 = \frac{B_0^2}{\mu_0 \mu}$$

$$K_0(s) = -\frac{1}{2\pi i} \int_{-\infty}^{\infty} \left\{ \left( -\frac{1}{1-\nu} + \mu_s b_0^2 \right) \ln \alpha + K(\alpha) \right\} e^{i\alpha s} d\alpha$$

$$(k^2 + 1)(2 + 4) \ln^2 \alpha + 2 \cosh^2 \alpha \right\} = 2(2h^2 + 1)(2h^2 \ln 2) \cdot 2(1 + 1)$$

$$K(\alpha) = \frac{(b_0^2 - 1)[(3 - 4\nu)\sinh 2\alpha + 2\cosh^2\alpha] - 2(2b_0^2 + 1)\alpha^2\sin 2\alpha - 8(1 - \nu)^2\sin 2\alpha}{\sinh 2\alpha[-2\alpha + (3 - 4\nu)\sinh 2\alpha]} (2.12)$$

При получении (2.10)-(2.12) было предположено, что  $\mu_1 - 1 \equiv \mu_1$ , поскольку для основных ферромагнитных материалов [2] значение  $\mu_1$  меняется в пределах  $10^2 \div 10^3$ .

Таким образом, задача свелась к решению интегрального уравнения (2.10) при условии (2.7).



Зная функции  $\varphi(x)$  и  $\psi(x)$ , из (2.9) можно определить  $A_i(\alpha)$ , с номощью которых по формулам (2.1)-(2.3) восстанавливаются магнитоупругие перемещения  $U_i(x,y)$  (i=1,2) и магнитоупругие напряжения  $t_{ij}(x,y)$  (i,j=1,2). В частности, для  $t_{22}(x,y)$  на линии y=0 будем иметь

$$\frac{t_{22}(x,0)}{\mu} = \gamma_0 + \int_0^{\infty} \varphi(t) K_1 \left( \frac{t-x}{h} \right) dt + \int_0^{\infty} G(\alpha) e^{i\alpha t} d\alpha$$
 (2.13)

где

$$G(\alpha) = -4\tilde{Q}_{1}(\alpha)[|\alpha|b_{11}(\alpha) - (1 - 2v)b_{21}(\alpha)] -$$

$$-\tilde{Q}_{2}(\alpha)\left[4i\alpha b_{12}(\alpha) + 2\gamma_{1}i\alpha b_{12}(\alpha) + 4(1 - 2v)\frac{|\alpha|}{\alpha i}b_{22}(\alpha)\right]$$
(2.14)

$$K_{1}(t) = -\frac{1}{\pi} \int_{0}^{\pi} L_{1}(\alpha) \sin \alpha t d\alpha, \quad L_{1}(\alpha) = -\frac{\operatorname{th} \alpha}{1 - \nu} + K(\alpha).$$

3. Замкнутое решение задачи. Как видно из предыдущего пункта, определение напряженно-деформпрованного состояния магиптоупругого слоя сводится к решению интегрального уравнения с разностным ядром (2.10), а коэффициент интенсивности магиптоупругого напряжения можно определить из

$$K_{h1}^{-} = \lim_{x \to 0} \left[ (-x)^{\frac{1}{2}} \frac{t_{22}(x,0)}{u} \right]. \tag{3.1}$$

Теория и методы решения интегральных уравнений типа (2.10) изложены в [3,4]. Поступая аналогичным образом, как и в [3,4], решение уравнения (2.10) можно представить в виде

$$\hat{\varphi}_{\star}(\alpha) = \frac{ib_0^2}{2L(0)} \frac{1}{\alpha L(\alpha)},\tag{3.2}$$

где

$$\hat{\varphi}_{+}(\alpha) = \int_{0}^{\pi} \varphi(\xi) e^{i\alpha\xi} d\xi, \qquad (3.3)$$

$$L_{+}(\alpha) = \frac{\theta_{0}\sqrt{\alpha+i}}{\alpha} L_{++}(\alpha), \quad L_{-}(\alpha) = \sqrt{\alpha-i} L_{--}(\alpha), \tag{3.4}$$

$$L_{\pm}(\alpha) = \exp\left\{\pm \frac{1}{2\pi i} \int_{-\infty}^{\infty} \frac{\ln L_{\pm}(\alpha)}{\xi - \alpha} d\xi\right\}; \quad L_{\pm}(\alpha) = \frac{\alpha L(\alpha)}{\theta_0 \sqrt{\alpha^2 + 1}}, \quad (3.5)$$

$$L(\alpha) = \theta_0 \ln \alpha + K(\alpha), \quad \theta_0 = \mu_1 + b_0^2 - \frac{1}{1 - \nu}.$$
 (3.6)

Воспользовавшись асимптотическими свойствами преобразования Фурье [3], найдем, что

$$\frac{t_{22}(x,0)}{\mu} = -\frac{1}{1-\nu} \frac{b_0^2}{2} \frac{\sqrt{1-2\nu}}{\sqrt{1-(1-\nu)\mu_1 b_0^2}} (-x)^{-\frac{1}{2}} \text{ npm } x \to 0$$
 (3.7)

Коэффициент интенсивности магнитоупругих напряжений  $K_{h1}^{(0)}$  из (3.1) примет вид

$$K_{b1}^{\text{on}} = -\frac{1}{1-v} \frac{b_0^2}{2} \frac{\sqrt{1-2v}}{\sqrt{1-(1-v)\mu_s b_0^2}}$$

Отметим, что ключевым моментом решения задачи для полубескопечной трещины являются факторизация функции (3.6). Однако, если в общем случае ядра  $K_0(t)$  использовать интегральную формулу (3.5), то практически нахождение численных решений часто оказывается весьма затрудлительным. Поэтому на практике пользуются также методом приближенной факторизации Койтера [3.5].

Идея этого метода состоит в следующем. Функция  $L(\alpha)$  заменяется приближенно равной ей  $\bar{L}(\alpha)$  (численные значения этих функций на некоторой прямой  ${\rm Im}_{\alpha}=c, \quad -\infty<{\rm Re}\,\alpha<\infty$  приближенно равны), которая легко факторизуется. Важно отметить, что нет необходимости в том, чтобы  $L(\alpha)$  и  $\bar{L}(\alpha)$  вели себя одинаковым образом в комплексной плоскости  $\alpha$  . В [5] доказано, что если  $L(\alpha)$  и  $\bar{L}(\alpha)$  приближенно равны на некоторой липпи, то оканчательные решения будут тоже приближенно равны.

В качестве  $\tilde{L}(\alpha)$  возьмем следующую функцию:

$$L(\alpha) = \bar{L}(\alpha) = \frac{a_0 \sqrt{\alpha^2 + a_1^2}}{\alpha},$$

$$L_1(\alpha) = \bar{L}_1(\alpha) = \frac{b_0 \sqrt{\alpha^2 + b_1^2}}{\alpha}.$$
(3.9)

270

$$a_{0} = \lim_{\alpha \to \infty} L(\alpha) = \theta_{0}; \quad a_{1} = \lim_{\alpha \to 0} \alpha L(\alpha) = -\frac{1}{a_{0}} \frac{2(1-\nu)}{1-2\nu}$$

$$b_{0} = \lim_{\alpha \to \infty} L_{1}(\alpha) = -\frac{1}{1-\nu}; \quad b_{1} = \lim_{\alpha \to 0} \alpha L_{1}(\alpha) = \frac{2(1-\nu)^{2}}{1-2\nu}.$$
(3.10)

Решением уравнения (2.10), с учетом (3.9) будет

$$\hat{\varphi}_{\bullet}(\alpha) = G^{\bullet}(\alpha) \frac{1}{\tilde{L}(0)\tilde{L}_{\bullet}(\alpha)}; \quad G^{+}(\alpha) = \frac{ib_0^2}{2\alpha}$$
(3.11)

где

$$\tilde{L}_{+}(\alpha) = \frac{a_{0}\sqrt{\alpha + ia_{1}}}{\alpha}; \quad \tilde{L}_{-}(\alpha) = \sqrt{\alpha - ia_{1}} \quad \text{npn} \quad a_{1} > 0,$$

$$\tilde{L}_{+}(\alpha) = \frac{a_{0}\sqrt{\alpha - ia_{1}}}{\alpha}; \quad \tilde{L}_{-}(\alpha) = \sqrt{\alpha + ia_{1}} \quad \text{npn} \quad a_{1} > 0.$$
(3.12)

Коэффициент интенсивности магнитоупругих напряжений (3.1), с учетом (3.9) и (2.13) запишется в виде

$$\bar{K}_{h1}^{00} = K_{h1}^{00} \tag{3.13}$$

г. с. (3.13) и (3.8) в точности совнадают.

Отметим, что аналогичные задачидля магнитоупругого слоя решены в [6,7].

## **ЛИТЕРАТУРА**

- Pao Y. H., YEH C. S., "A linear theory for soft ferromagnetic elastic solids". - Int. J. Eng. Sci., 1973, v. 11, № 4, pp. 415 436.
- 2. Бозорт Р. П. Ферромагнетизм. М.: Изд. иностр. лит., 1956, 784 с
- 3. Б. Нобл. Метод Винера-Хонфа. М.: Изд. Иностр.лит., 1962. 279 с.
- Александров В. М., Коваленко Е. В. Задачи механики сплонных сред со смешанными граничными условиями. - М.:Наука, 1986.334 с.
- Koiter W. T. "Approximate solution of Winer Hopf type integral equations with applications", part 1411, Konike Ned. Akad. Wetenschap. Proc. B 57, 1954, pp. 558-579.
- Shindo Y. The linear magnetoelastic problem of two complanor Griffith craek. In a soft ferromagnetic elastic strip. J. Appl. Mech., ASME, 1982, v. 49., № 1, pp. 69-74.
- Асаиян Д. Д., Багдасарян Г. Е., Григорян Г. С. Напряженно деформированное состояние магнитомягкого слоя с трещиной, обусловленное внешним магнитным полем. IV Всесоюзный симнознум "Теоретические вопросы магнитоупругости". Ереван, Издательство ЕрГУ, 1989, с. 16-19.

Институт механики НАН РА

Поступила в редакцию 2.05.1995